

舒月红,贾晓珊. CTMAB-膨润土从水中吸附氯苯类化合物的机理——吸附动力学与热力学[J]. 环境科学学报, 2005, 25(11): 1530 - 1536  
SHU Yuehong, JIA Xiaoshan. The mechanisms for CTMAB-bentonites to adsorb CBs from water in the adsorption kinetics and thermodynamics view [J]. Acta Scientiae Circumstantiae, 2005, 25(11): 1530 - 1536

# CTMAB-膨润土从水中吸附氯苯类化合物的机理—— 吸附动力学与热力学

舒月红, 贾晓珊 \*

中山大学环境科学与工程学院, 广州 510275

收稿日期: 2005-05-08 修回日期: 2005-08-04 录用日期: 2005-08-05

**摘要:**采用批量平衡实验,研究了 CTMAB-膨润土从水中吸附 4 种氯苯类化合物(CBs)的吸附特性,并从动力学及热力学角度探讨了 CBs 的吸附作用机理。结果表明,吸附过程符合伪二级动力学方程,吸附活化能较小,反应速率较快,达到平衡的时间较短。CBs 在 CTMAB-膨润土上的吸附符合 Linear 方程,吸附过程主要由分配作用所致;CBs 的辛醇-水分配系数越大,其在 CTMAB-膨润土中的分配系数  $K_d$  也越大。另外,CTMAB-膨润土的有机碳含量越高,其对 CBs 的  $K_d$  也越大。CBs 在 CTMAB-膨润土上的吸附是一个放热过程,同时伴随着熵值的增加,在 288 ~ 308 K 范围内,反应的吉布斯自由能变小,表明主要吸附作用力为疏水键力,吸附反应为自发过程。

**关键词:**氯苯类化合物(CBs); CTMAB-膨润土; 吸附; 动力学; 热力学

文章编号: 0253-2468(2005)11-1530-07 中图分类号: 文献标识码:A

## The mechanisms for CTMAB-bentonites to adsorb CBs from water in the adsorption kinetics and thermodynamics view

SHU Yuehong, JIA Xiaoshan

School of Environmental Science and Engineering, Sun Yat-Sen University, Guangzhou 510275

Received 8 May 2005; received in revised form 4 August 2005; accepted 5 August 2005

**Abstract:** A batch adsorption study was carried out to investigate the properties, kinetics and thermodynamics of adsorption process of CBs on CTMAB-bentonites. The adsorption followed pseudo-second-order kinetics with a small energy of activation, which led to large kinetic rate constant and small time to reach adsorption equilibrium. The experimental data yielded excellent fits with Linear isotherm equation, which was resulted from CBs partition into CTMAB-bentonites. With the increase of octanol-water partition coefficients of CBs and the organic carbon contents of CTMAB-bentonites, CBs distribution coefficients increased. The adsorption of CBs was exothermic in nature and was accompanied with an increase in entropy and a decrease in Gibbs energy in the temperature range of 288 ~ 308 K, which suggested that the adsorption behavior may be dominated by hydrophobic bonding and the spontaneous nature of the interaction without requiring large activation energies of adsorption.

**Key words:** CBs; CTMAB-bentonite; adsorption; kinetics; thermodynamics

土壤和沉积物中疏水性有机污染物(HOCs)的广泛存在,引起人们对其在水环境中的迁移、降解和最终产物进行大量的研究(Alexander, 1995; Luthy *et al.*, 1997; Weber Jr *et al.*, 2001; 朱利中等, 2000; 周岩梅等, 2003)。用有机阳离子替换土壤和沉积物粘土中的无机阳离子,可以大大提高土壤和沉积物对有机污染物的吸附能力。Lee 等人(1989)和 Xu 等人

(1995)的研究表明,利用 HDTMA 改性的土壤对一些有机污染物如苯和烷基苯的吸附系数增加了两个数量级以上。土壤对 HOCs 吸附能力的增大能降低其迁移能力,说明了能通过此法对受污染的土壤和沉积物进行原位修复(Lee *et al.*, 1989)。Nye 等人(1994)建议在地下注射季铵盐阳离子以便形成一个吸附阻止污染物的迁移,然后在此吸附区结合生物

基金项目:“985 工程”二期项目;中山大学重点资助项目(No. 32000—3253282)

作者简介:舒月红(1972—),女,博士研究生, E-mail: shonger@sohu.com; \* 通讯作者(责任编辑)

Foundation item: the second part of Project 985; Key sustentation project of Sun Yat-sen University(No. 32000—3253282)

Biography: SHU Yuehong (1972—), female, Ph. D. candidate, E-mail: shonger@sohu.com; \* Corresponding author

降解途径来提供一种综合的原位修复工艺。因此,研究HOCs在有机粘土上的吸附行为,对于探讨HOCs在环境中的迁移转化规律,以及土壤和沉积物的修复有着重要意义。

氯苯类化合物(Chlorobenzenes, CBs)是一类疏水及持久性有机污染物。由于其容易在含脂肪丰富的组织中蓄积,且大多具有致癌、致畸、致突变性(WHO,1991),因此被很多国家列入环境优先控制污染物或者“黑名单”之中(Keith et al.,1979)。现有的研究结果表明,CBs的污染范围非常广泛,在土壤和沉积物、各种自然水体、蔬菜、鱼类、甚至在人类的脂肪组织和乳液以及极地生物体内都有检出(Oliver et al.,1982; Wang et al.,1994; Williams et al.,1988; Katrin et al.,2004),这为受其污染的环境修复带来了沉重的压力。

有机粘土矿物对有机污染物吸附行为的研究在国内外已经开展多年,Chiou等人(1990),Smith等人(1995),朱利中等(2000;1999)对有机膨润土吸附水中有机污染物,如四氯化碳、三氯乙烯、苯、酚类、胺类等的性能及作用机理进行了较为深入的研究。纵观国内外文献,对于CBs在有机膨润土上吸附的研究较少,尤其缺乏从热力学和动力学的角度对CBs在有机膨润土上的吸附行为进行系统研究。

本文以土壤和沉积物的重要粘土成分膨润土以及氯苯、1,4-二氯苯、1,2,4-三氯苯和1,2,4,5-四氯苯为研究对象,旨在研究溴化十六烷基三甲铵(CTMAB)改性的膨润土从水中吸附4种氯苯类化合物(CBs)的吸附特性,并从动力学和热力学的角度探讨CBs的吸附作用机理。此项研究对于开发受CBs污染的土壤和沉积物修复技术具有重要意义。

## 1 实验部分(Experimental)

### 1.1 实验材料和仪器

吸附实验所用原土为钠基膨润土,每100 g 纳基膨润土的阳离子交换量为 58.5 mmol · kg<sup>-1</sup>。CTMAB、CBs、NaCl、正己烷、甲醇等化学试剂均为分析纯。CBs的标准曲线则用色谱纯试剂测定。所用氯苯、1,4-二氯苯、1,2,4-三氯苯和1,2,4,5-四氯苯的辛醇-水分配系数分别为 6.03 × 10<sup>2</sup>、2.82 × 10<sup>3</sup>、1.15 × 10<sup>4</sup>、5.25 × 10<sup>4</sup>(王连生等,2003)。

主要仪器有气相色谱仪(HP 6890 plus),HP 5 色谱柱(30 m × 0.32 mm × 0.25 μm),恒温培养振荡器(ZHWY 200B),低速离心机(TDL-40B)。

### 1.2 有机膨润土的制备

将干燥、过100目的膨润土原土40 g加入到200 mL一定浓度的CTMAB溶液中,在室温下搅拌24 h,产物经真空过滤,用去离子水洗涤至用Ag<sub>2</sub>SO<sub>4</sub>溶液检验不到滤液中有Br<sup>-</sup>存在为止。将滤干后的有机膨润土在80~90℃下烘干,再在105℃左右活化1 h,研磨后过100目筛,即制成一系列CTMAB浓度不同的膨润土(0.3~1.0CEC表示不同改性量的有机膨润土)。膨润土的有机碳含量用重铬酸钾容量法测定,膨润土原土、0.3CEC、0.5CEC、0.7CEC、1.0CEC CTMAB-膨润土的有机碳含量(f<sub>oc</sub>)分别为:0.221%,3.595%,6.965%,9.768%和15.504%。

### 1.3 吸附实验

CBs贮备液的配制过程中加入少量甲醇以增加溶解度(体积比不超过2%),然后根据需要用0.01 mol · L<sup>-1</sup>的NaCl溶液将贮备液稀释成不同浓度作为吸附液。每次所用吸附液均为新鲜配制。

采用批量平衡法测定膨润土对CBs的吸附等温线以及动力学曲线。称取0.2 g 有机膨润土或原土于20 mL玻璃瓶,准确加入一定浓度的CBs吸附液,保留最小的顶空,瓶内不留气泡,防止挥发。立即盖上内衬聚四氟乙烯的胶塞,并用铝盖密封,于150 r · min<sup>-1</sup>的摇床内恒温振荡一定时间后,取出于3500 r · min<sup>-1</sup>转速下离心10 min。上清液用正己烷萃取、无水硫酸钠干燥后,气相色谱测定CBs的浓度。CBs的萃取回收率为91.2%~106.5%。所有吸附实验和空白实验分别重复两次。

## 2 结果(Results)

### 2.1 吸附等温线

在25℃,pH为7的条件下,CTMAB-膨润土和原土对CBs的吸附等温线见图1。如图1所示,在所研究的CBs溶液浓度范围内,吸附量与平衡浓度具有良好的线性关系。将实验数据按Linear吸附等温式: $Q = K_d C_e + b$ (式中Q为CBs在膨润土上的吸附量(mg · g<sup>-1</sup>),C<sub>e</sub>为CBs的平衡浓度(mg · L<sup>-1</sup>),K<sub>d</sub>为分配系数,b为常数)进行回归处理的结果见表1。由图1和表1可以看出,膨润土原土对CBs的吸附很弱,而CTMAB-膨润土对CBs的吸附量则大大增加,且随着CTMAB-膨润土改性量由0.3CEC增加到1.0CEC,吸附量和K<sub>d</sub>也随着增大。

### 2.2 吸附动力学

图2表示了25℃下,pH为7时,CBs在不同膨

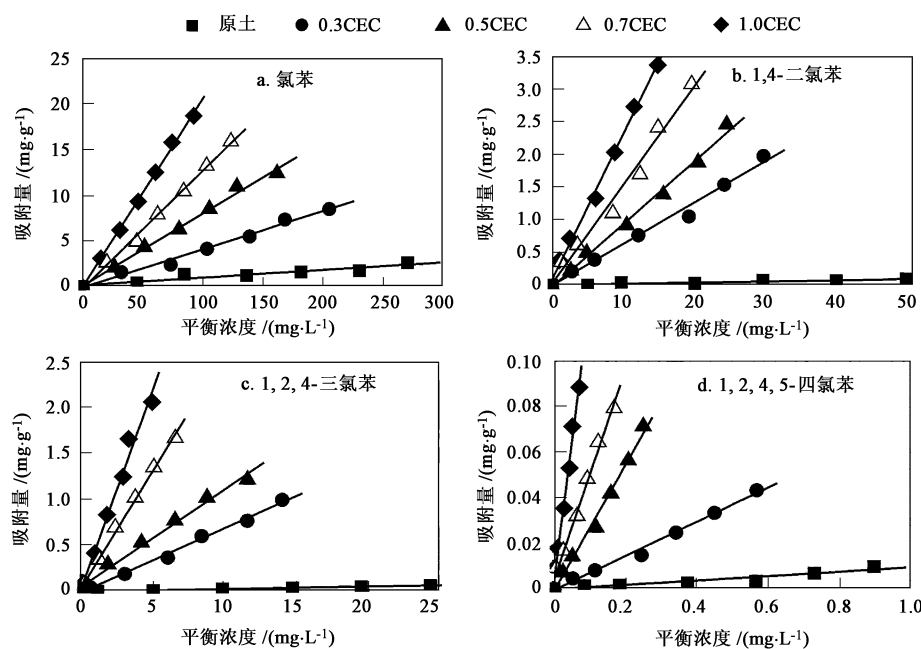


图1 CTMAB-膨润土对CBs的吸附等温线

Fig. 1 The adsorption isotherm curves of CBs on CTMAB-bentonites

表1 吸附等温线的回归数据及分配系数( $K_d$ )Table 1 Regression data for adsorption isotherms and partition coefficients( $K_d$ )

CBs	膨润土	回归方程	$R^2$	$K_d$	$n$	$p$
氯苯	原土	$y = 0.0084x + 0.1421$	0.8939	8.4	14	0.0013
	0.3CEC	$y = 0.0418x - 0.1235$	0.9879	41.8	14	<0.0001
	0.5CEC	$y = 0.0790x + 0.0657$	0.9939	79.0	14	<0.0001
	0.7CEC	$y = 0.1288x - 0.2556$	0.9964	128.8	14	<0.0001
	1.0CEC	$y = 0.2056x - 0.1076$	0.9986	205.6	14	<0.0001
1,4-二氯苯	原土	$y = 0.0018x + 0.0029$	0.8536	1.8	14	0.00294
	0.3CEC	$y = 0.0644x - 0.0086$	0.9875	64.4	14	<0.0001
	0.5CEC	$y = 0.0974x - 0.0335$	0.9927	97.4	14	<0.0001
	0.7CEC	$y = 0.15330x + 0.0144$	0.9831	153.3	14	<0.0001
	1.0CEC	$y = 0.2258x + 0.0723$	0.9959	225.8	14	<0.0001
1,2,4-三氯苯	原土	$y = 0.0026x - 0.0085$	0.9639	2.6	14	<0.0001
	0.3CEC	$y = 0.0700x - 0.0181$	0.9941	70.0	14	<0.0001
	0.5CEC	$y = 0.1059x + 0.0456$	0.99011	105.9	14	<0.0001
	0.7CEC	$y = 0.2556x + 0.0343$	0.9968	255.6	14	<0.0001
	1.0CEC	$y = 0.3776x + 0.0209$	0.9957	377.6	14	<0.0001
1,2,4,5-四氯苯	原土	$y = 0.0096x - 0.0003$	0.8978	9.6	14	0.00118
	0.3CEC	$y = 0.0749x - 0.0007$	0.9920	74.9	14	<0.0001
	0.5CEC	$y = 0.2761x - 0.0012$	0.9909	276.1	14	<0.0001
	0.7CEC	$y = 0.4601x + 0.0036$	0.9919	460.1	14	<0.0001
	1.0CEC	$y = 1.2199x + 0.0027$	0.9917	1219.9	14	<0.0001

$y$  为吸附量( $\text{mg} \cdot \text{g}^{-1}$ ),  $x$  为 CBs 的平衡浓度( $\text{mg} \cdot \text{L}^{-1}$ )

润土上的吸附量随时间的变化情况。图中氯苯、1,4-二氯苯、1,2,4-三氯苯和1,2,4,5-四氯苯的初始浓度分别为100、20、10、0.6  $\text{mg} \cdot \text{L}^{-1}$ 。由图2可以看出, CBs的吸附量在前5 min内上升很快,随后在20 min左右逐渐达到平衡,说明吸附速度较快。

为了分析在不同条件下膨润土对CBs的吸附速率情况,分别用以下3种简化的动力学方程对实验数据进行模拟(Juang et al., 2000)。

伪一级动力学方程:

$$\ln(q_c - q_t) = \ln q_c - k_1 t \quad (1)$$

伪二级动力学方程:

$$\frac{t}{q_t} = \frac{1}{k_2 q_e^2} + \frac{t}{q_e} \quad (2)$$

二级动力学方程:

$$1/(q_e - q_t) = 1/q_e + k_2 t \quad (3)$$

式中,  $k_1$ 、 $k_2$ 、 $k_3$  分别为伪一级反应速率常数 ( $\text{min}^{-1}$ )、伪二级反应速率常数 ( $\text{g} \cdot \text{mg}^{-1} \cdot \text{min}^{-1}$ ) 和二级反应速率常数 ( $\text{g} \cdot \text{mg}^{-1} \cdot \text{min}^{-1}$ ),  $q_e$  是伪平衡吸附量 ( $\text{mg} \cdot \text{g}^{-1}$ )。模拟结果列于表 2。各模型的可信度可通过比较相关系数进行判断。由图 2 和表 2 可以看出, 伪二级动力学方程最适合描述 CBs 在 CTMAB-膨

润土上的吸附动力学过程, 其线性回归的可决系数皆大于 0.99, 且通过模型计算所得的平衡吸附量与实验结果非常接近(如图 2 中的实线所示)。表 3 所示为从不同温度吸附实验数据所求的伪二级动力学参数(CBs 的初始浓度同图 2)。表 3 的结果表明, 温度越高, 吸附速度越快。另外, 根据 Arrhenius 公式:  $\ln k = \ln A - E_a/RT$  (式中  $k$  为反应速率常数,  $E_a$  为活化能,  $R$  为理想气体常数), 以  $\ln k$  对  $1/T$  作图, 由斜率可得吸附过程的活化能,  $E_{a,\text{氯苯}} = 9.61 \text{ kJ} \cdot \text{mol}^{-1}$ ,  $E_{a,1,4\text{-二氯苯}} = 8.39 \text{ kJ} \cdot \text{mol}^{-1}$ ,  $E_{a,1,2,4\text{-三氯苯}} = 6.24 \text{ kJ} \cdot \text{mol}^{-1}$ ,  $E_{a,1,2,4,5\text{-四氯苯}} = 5.99 \text{ kJ} \cdot \text{mol}^{-1}$ 。

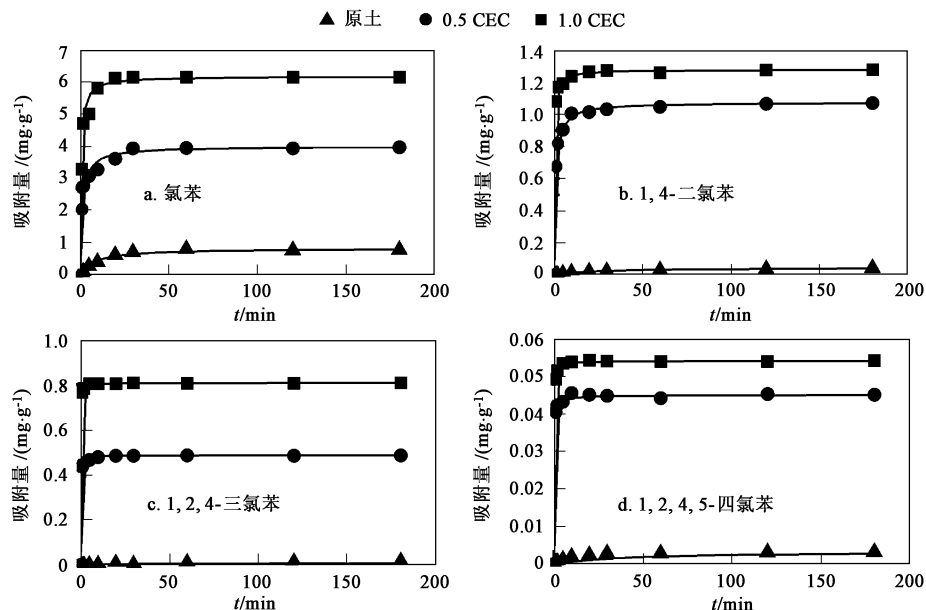


图 2 CBs 在膨润土上吸附量随时间的变化曲线

Fig. 2 Variation of the amount of CBs adsorption with time by bentonites

表 2 CTMAB-膨润土及膨润土原土吸附 CBs 的动力学参数

Table 2 Kinetics parameters for adsorption of CBs on CTMAB-bentonites and original bentonite

CBs	膨润土	伪一级			伪二级			二级		
		$q_e$	$k_1$	$R^2$	$q_e$	$k_2$	$R^2$	$q_e$	$k_2$	$R^2$
氯苯	原土	0.478	0.029	0.864 3	0.829	0.139	0.997 1	4.562	0.363	0.938 6
	0.5CEC	0.694	0.035	0.577 1	3.994	0.192	0.999 9	0.180	0.334	0.405 4
	1.0CEC	0.224	0.041	0.530 9	6.173	0.282	0.999 8	0.007	6.295	0.573 8
1,4-二氯苯	原土	0.983	3.331	0.960 4	0.046	0.895	0.995 2	0.708	1.413	0.982 8
	0.5CEC	0.963	1.426	0.801 7	1.075	0.995	0.999 3	1.440	0.695	0.971 3
	1.0CEC	0.964	2.234	0.535 6	1.279	2.491	1.000 0	0.089	3.077	0.696 9
1,2,4-三氯苯	原土	0.016	0.015	0.963 0	0.008	7.911	0.997 9	0.023	2.552	0.940 2
	0.5CEC	0.038	0.110	0.879 9	0.487	17.10	0.999 8	0.009	4.706	0.791 1
	1.0CEC	0.025	0.147	0.883 6	0.808	22.53	0.991 5	0.013	15.80	0.968 0
1,2,4,5-四氯苯	原土	0.980	0.020	0.865 6	0.003	38.51	0.999 8	0.002 9	52.60	0.946 9
	0.5CEC	0.987	0.013	0.698 7	0.045	102.16	0.999 9	0.001 4	13.07	0.493 4
	1.0CEC	0.002	0.084	0.663 3	0.054	185.14	1.000 0	0.001 4	44.67	0.750 3

表3 不同温度下 CTMAB-膨润土(1.0CEC)吸附CBs的伪二级动力学参数

Table 3 Pseudo-second-order kinetics parameters for adsorption of CBs on CTMAB-bentonites(1.0CEC)

温度/	氯苯			1,4-二氯苯			1,2,4-三氯苯			1,2,4,5-四氯苯		
	$q_e$	$k_2$	$R^2$	$q_e$	$k_2$	$R^2$	$q_e$	$k_2$	$R^2$	$q_e$	$k_2$	$R^2$
15	6.527	0.239	0.9999	1.326	2.270	0.9996	0.813	21.06	1.0000	0.055	174.8	1.0000
25	6.173	0.282	0.9998	1.279	2.491	0.9999	0.808	22.53	0.9987	0.054	185.1	0.9998
35	5.967	0.310	0.9969	1.266	2.852	1.0000	0.801	24.99	0.9992	0.053	205.7	0.9968

### 2.3 吸附热力学

根据不同温度下CBs在CTMAB-膨润土(1.0CEC)上的吸附数据求取分配系数。结果表明,在试验温度范围内, $K_d$ 随温度升高而降低,该吸附是一放热过程(表4)。

吸附过程中的热力学参数可用下列等式(Khan et al., 1995)对不同温度下的吸附平衡数据作图计算得到,其结果同样汇总于表4中。

$$\lg K_d = \frac{S^0}{2.303 R} - \frac{H^0}{2.303 RT} \quad (4)$$

表4 CBs在CTMAB-膨润土(1.0CEC)上分配系数和热力学参数

Table 4 and thermodynamics parameters for adsorption of CBs on CTMAB-bentonites(1.0CEC)

温度 /	氯苯				1,4-二氯苯				1,2,4-三氯苯				1,2,4,5-四氯苯			
	$K_d$	$G^0$	$H^0$	$S^0$	$K_d$	$G^0$	$H^0$	$S^0$	$K_d$	$G^0$	$H^0$	$S^0$	$K_d$	$G^0$	$H^0$	$S^0$
15	244.7	13.13			248.3	13.22			440.6	14.56			1291	17.16		
25	205.6	13.25	9.58	12.3	225.7	13.39	8.24	17.3	377.6	14.72	9.84	16.4	1220	17.60	4.57	43.7
35	188.9	13.38			198.5	13.57			337.5	14.89			1141	18.03		

### 3 讨论(Discussion)

研究结果表明,膨润土原土对CBs的吸附很弱,这主要是因为天然膨润土存在着大量可交换的亲水性无机阳离子,使水溶液中粘土表面通常存在一层薄的水膜,从而不能有效地吸附疏水性有机污染物CBs。而当用CTMAB的有机阳离子取代膨润土中的无机阳离子而对膨润土进行改性后,则改变了膨润土表面的亲水特性,从而使得CTMAB-膨润土对CBs的吸附能力大大提高。CBs在CTMAB-膨润土吸附等温线的线性回归分析中 $R^2$ 大于0.98,可以认为CTMAB-膨润土对CBs的吸附主要是CBs在其有机相中的分配作用所致,因此,增加改性剂CTMAB的量,导致了CTMAB-膨润土有机碳含量的增大,从而使得CBs在CTMAB-膨润土上的吸附量和分配系数随着有机碳含量的增加而增大。另外,用公式 $K_{oc} = K_d/f_{oc}$ 计算出的CBs在不同的CTMAB-膨润土上用有机碳标记过的分配系数 $K_{oc}$ 基本为一常数,氯苯、1,4-二氯苯、1,2,4-三氯苯和1,2,4,5-四氯苯的 $K_{oc}$ 平均值分别为 $1.35 \times 10^3$ 、 $1.56 \times 10^3$ 、 $2.13 \times 10^3$ 、 $4.66 \times 10^3$ ,其值比CBs在土壤中的约高6~15倍(Chiou

$$G^0 = H^0 - T S^0 \quad (5)$$

式中, $K_d$ 是平衡吸附分配系数, $S^0$ 为标准吸附熵变( $J \cdot mol^{-1}$ ), $H^0$ 为标准吸附焓变( $kJ \cdot mol^{-1}$ ), $G^0$ 为标准吸附自由能变( $kJ \cdot mol^{-1}$ ), $T$ 为绝对温度(K)。

从表4结果可知,吸附体系的 $G^0$ 为负值,表明此反应是一个自发的吸附过程。吸附过程的 $H^0$ 为负,进一步说明CTMAB-膨润土从水中吸附CBs是一个放热过程。

et al., 1983),这为受CBs污染的土壤或含水层的原位修复提供了理论依据。

通过用伪一级、伪二级和二级动力学方程对实验数据的模拟,伪二级方程最适合描述CBs在CTMAB-膨润土上的吸附过程,而且拟合的效果非常好,这说明伪二级动力学模型包含吸附的所有过程,如外部液膜扩散、吸附和内部颗粒扩散等(Chang et al., 2004),能够更为真实地反映CBs在CTMAB-膨润土上的吸附机理。一般来说,物理吸附速度较快,需要的活化能很小,一般为8.368~25.1 kJ · mol<sup>-1</sup>左右;化学吸附所需要的活化能通常大于83.72 kJ · mol<sup>-1</sup>(谭凯旋等,1994)。而CBs在CTMAB-膨润土上吸附的活化能较小( $E_a$ 为5.99~9.61 kJ · mol<sup>-1</sup>),结果导致了吸附反应速率较快,达到平衡所需时间较短;CBs在CTMAB-膨润土上的吸附主要是一物理过程。

Hulscher和Cornelissen(1996)认为,在吸附过程中通常有两种类型的力在起作用:一种作用力与焓变有关,它影响着吸附剂对吸附质的作用力与吸附质和溶剂之间作用力的大小;另一种作用力与熵变有关,它影响的是吸附体系中自由度或者混乱度的

变化.与焓变相关的吸附作用力有范德华力、氢键、配位基交换、偶极间力和化学吸附(共价键的形成)等.在水相中与熵变有关的作用力是指围绕在溶解的吸附质周围的高度规整的水化膜的消失而引起的混乱度的增加.

对于没有任何极性基团的HOCs来说,吸附过程中的主要驱动力是所谓的“疏水键力”,“疏水键力”用来描述吸附质与吸附剂之间的范德华力和从溶液中移走吸附质而引起的熵变的共同作用力,而其它的作用力对HOCs的吸附过程作用甚小(Hulscher *et al.*, 1996).对于具有一个极性基团的化合物来说,能够形成氢键或者吸附质与吸附剂之间的静电引力会增加吸附过程焓变引起的放热效应.Hulscher和Cornelissen(1996)认为,温度对吸附平衡的影响大小是吸附作用强弱的直接证据.吸附作用力越弱,平衡吸附的焓变越小,因此温度对吸附的影响就越小.

本研究中, $H^0$ 的绝对值较小表明吸附过程中无化学键力和配位基交换力(Von open *et al.*, 1991),同时由于CTMAB-膨润土从水中吸附CBs的吸附等温线呈线性,主要表现为CBs在有机膨润土中的分配作用,因此推断其主要吸附机制为疏水键力的分配作用,同时可能存在偶极键力和范德华力的作用(Hulscher *et al.*, 1996; Von open *et al.*, 1991;朱利中等,2001).

吸附过程的 $S^0$ 为正值,表明CBs分子倾向于优先选择在CTMAB-膨润土表面上吸附.一般来说,气体分子在固体上的吸附往往伴随着熵值的变小,因为分子从杂乱无章的气态变成在固体吸附剂表面的整齐排列.而对于从复杂的溶液体系中向表面不均一的有机膨润土表面的吸附来说情况并不如此.在固液吸附体系中,同时存在溶质的吸附和溶剂的解吸,溶质分子吸附在吸附剂上,自由度减小,是一熵减小的过程,而溶剂分子的解吸是一熵增大的过程.因为CBs分子的体积比水分子大得多,每个CBs分子的吸附都会有数量更多的水分子脱附,结果水脱附引起的熵增加远大于CBs分子吸附引起的熵减小,从而使熵变为正值(范顺利等,1995).

#### 4 结论(Conclusions)

1) 吸附实验表明CTMAB-膨润土能从水溶液中有效地吸附CBs,吸附等温线为线性,说明吸附过程主要是CBs在CTMAB-膨润土有机碳中的分配所致.

CBs的辛醇-水分配系数越大,其在CTMAB-膨润土中的 $K_d$ 也越大.另外,CTMAB-膨润土的有机碳含量越高,其对CBs的 $K_d$ 也越大.

2) CBs在CTMAB-膨润土上的吸附速度很快,20 min左右即已达到平衡.伪二级动力学模型能很好地拟合实验数据,拟合所得平衡吸附量与实验结果非常接近.反应活化能为 $5.99 \sim 9.61 \text{ kJ mol}^{-1}$ ,较小的活化能使得反应速率较快,反应达到平衡的时间较短.

3) CBs在CTMAB-膨润土上的吸附是一个自发的放热过程( $G^0$ 为 $-13.13 \sim -18.03 \text{ kJ mol}^{-1}$ ); $H^0$ 为 $-4.57 \sim -9.84 \text{ kJ mol}^{-1}$ ,说明反应中无配位基交换和化学键等强作用力.

**通讯作者简介:**贾晓珊(1962—),男,中山大学教授,博士生导师,目前主要研究方向为:环境微生物、环境生物治理技术和危险污染管理与调控. E-mail: eesjxs@zsu.edu.cn, Tel: 020-84114545.

#### 参考文献(References):

- Alexander M. 1995. How toxic are toxic chemicals in soil? [J]. Environ Sci Technol, 29: 2713—2717
- Chang M Y, 2004. Juang R S. Adsorption of tannic acid, humic acid, and dyes from water using the composite of chitosan and activated clay[J]. J Colloid and Interface Sci, 278: 18—25
- Chiou C T, Porter P E, Schmedding D W. 1983. Partition equilibria of nonionic organic compounds between soil organic matter and water[J]. Environ Sci Technol, 17: 227—231
- Fan Shunli and Sun Shoujia. 1995. Thermodynamics and mechanism studies for adsorption of phenols from aqueous solution onto activated carbon [J]. Acta Chimica Sinica, 53: 526—531 (in Chinese)
- Hulscher Th E M, Cornelissen G. 1996. Effect of temperature on sorption equilibrium and sorption kinetics of organic micropollutants—a review [J]. Chemosphere, 32(4): 609—626
- Juang R S, Wu F C, Tseng R L. 2000. Mechanism of adsorption of dyes and phenols from water using activated carbons prepared from plum kernels [J]. J Colloid and Interface Sci, 227: 437—444
- Katrin Vorcamp, Frank Riget, Marianne Glasius, *et al.* 2004. Chlorobenzenes, chlorinated pesticides, coplanar chlorobiphenyls and other organochlorine compounds in Greenland biota [J]. Sci Total Environ, 331: 157—175
- Keith L H and Tellier W A. 1979. Priority pollutants—a perspective view [J]. Environ Sci Technol, 13: 416—423
- Khan S A, Rehman R, Khan M A. 1995. Adsorption of Cr( ), Cr( ) and Ag( ) on bentonite[J]. Waste Manage, 15: 271—282
- Lee J F, Crum J, Boyd S A. 1989. Enhanced retention of organic contaminants by soils exchanged with organic cations [J]. Environ Sci Technol, 23: 1365—1372

- Luthy R G, Aiken G R, Brusseau M L, et al. 1979. Sequestration of hydrophobic organic compounds[J]. Environ Sci Technol, 31: 3341—3347
- Nye J V, Guerin W F, Boyd S A. 1994. Heterotrophic Activity of Microorganisms in Soils Treated with Quaternary Ammonium Compounds [J]. Environ Sci Technol, 28: 944—951
- Oliver B G and Nicole K D. 1982. Chlorobenzenes in sediments, water and selected fish from Lakes Superior, Huron, Erie and Ontario[J]. Environ Sci Technol, 16: 532—536
- Smith J A, Jaffe P R, Chiou C T. 1990. Effect of ten quaternary ammonium cations on tetrachloromethane sorption to clay from water[J]. Environ Sci Technol, 24: 1167—1172
- Smith J A, Galan A. Sorption of nonionic organic contaminants to single and dual organic cation bentonites from water[J]. Environ Sci Technol, 69: 685—692
- Tan Kaixuan, Zhang Zheru, Wang Zhonggang. 1994. The mechanism of surface chemical kinetics of dissolution of minerals [J]. Acta Mineralogica Sinica, 14: 207—213(in Chinese)
- Von open B, Kordel W, Klein W. 1991. Sorption of nonpolar and polar compounds to soils: Processes, measurement and experience with the applicability of the modified OECD-guideline [J]. Chemosphere, 22 (4): 285—304
- Wang M J, Jones K C. 1994. Occurrence of Chlorobenzenes in nine United Kingdom retail vegetables[J]. J Agric Food Chem, 42: 2322—2328
- Wang Liansheng 2003. Environmental Organic Chemistry [M]. Beijing: Chemical Industry Press, 804 (in Chinese)
- Weber Jr W J, Leboeuf E J, Young T M, et al. 2001. Contaminant interactions with geosorbent organic matter: insights drawn from polymer sciences[J]. Water Res, 35: 853—868
- Williams D T, Lebel G L, Junkins E. 1988. Organohalogen residues in human autopsy samples from six Ontario municipalities[J]. J Assoc Off Anal Chem, 71: 410—414
- WHO (World Health Organization). 1996. Chlorobenzenes other than hexachlorobenzene[M]. International Programme on Chemical Safety, Environ Health Criteria, 128
- Xu S, Boyd S A. 1995. Cationic surfactant sorption to a vermiculitic subsoil via hydrophobic bonding[J]. Environ Sci Technol, 29: 312—320
- Zhou Yanmei, Liu Ruixia, Tang Hongxiao. 2003. Influence of dissolved organic matter in sorption process of polycyclic aromatic hydrocarbons on soils and sediments[J]. Acta Scientiae Circumstantiae, 23(2): 216—223 (in Chinese)
- Zhu Lizhong, Chen Baoliang, Li Mingxia, et al. 1999. The characteristics and mechanisms for dual-cation organobentonites to sorb organic compounds from water [J]. Acta Scientiae Circumstantiae, 19 (6): 597—603 (in Chinese)
- Zhu Lizhong, Chen Baoliang, Luo Yu. 2000. The properties and mechanisms for organobentonites to sorb polycyclic aromatic hydrocarbons in water [J]. Acta Scientiae Circumstantiae, 20(1): 21—25 (in Chinese)
- Zhu Lizhong, Yang Kun, Xu Gaojin. 2001. Characters of p-nitrophenol sorption in sediments: sorption isotherms and sorption thermodynamics [J]. Acta Scientiae Circumstantiae, 21(6): 674—678 (in Chinese)
- 中文参考文献:**
- 范顺利,孙寿家. 1995. 活性炭自水溶液中吸附酚的热力学与机理研究[J]. 化学学报, 53: 526—531
- 谭凯旋,张哲儒,王中刚. 1994. 矿物溶解的表面化学动力学机理[J]. 矿物学报, 14:207—213
- 王连生. 环境有机化学[M]. 2003. 北京:化学工业出版社,804
- 周岩梅,刘瑞霞,汤鸿霄. 2003. 溶解有机质在土壤及沉积物吸附多环芳烃类有机污染物过程中的作用研究[J]. 环境科学学报, 23 (2): 216—223
- 朱利中,陈宝梁,李铭霞,等. 1999. 双阳离子有机膨润土吸附水中有机物的特征及机理研究[J]. 环境科学学报, 19(6): 597—603
- 朱利中,陈宝梁,罗瑜. 2000. 有机膨润土吸附水中多环芳烃的性能及机理研究[J]. 环境科学学报, 20(1):21—25
- 朱利中,杨坤,许高金. 2001. 对硝基苯酚在沉积物上的吸附特征—吸附等温线和吸附热力学[J]. 环境科学学报, 21 (6):674—678